

УДК 539.194

**ЭЛЕКТРОННАЯ СТРУКТУРА АДДУКТОВ
TRIS-β-ДИКЕТОНАТОВ Eu(III) С ФЕНАНТРОЛИНОМ:
ФОТОЭЛЕКТРОННЫЕ И ТЕОРЕТИЧЕСКИЕ ИССЛЕДОВАНИЯ**

А.В. Шурыгин, В.В. Короченцев, А.И. Чередниченко, В.И. Вовна

Дальневосточный федеральный университет, Владивосток, Россия
E-mail: shurygin.av@dvfu.ru

Статья поступила 20 февраля 2017 г.

С доработки — 9 марта 2017 г.

Методами УФЭ спектроскопии паров, РФЭС конденсированной фазы и квантовой химии исследованы аддукты *tris*-β-дикетонатов Eu(acac)₃Phen и Eu(hfac)₃Phen. Установлено электронное строение и особенности природы химических связей в аддуктах. Определена геометрическая структура исследованных соединений в газовой фазе. Разработана методика, с помощью которой проведено отнесение полос газофазных фотоэлектронных HeI-спектров, а также валентной области рентгеновских фотоэлектронных спектров. Квантово-химические расчеты в рамках теории функционала плотности позволили определить закономерности изменения электронного строения хелатных комплексов в зависимости от фторирования лиганда, исследовать влияние молекулы 1,10-фенантролина на электронную структуру хелатных циклов, а также проанализировать электронные эффекты, вызванные замещением в лигандах метильных групп на трифторметильные.

DOI: 10.15372/JSC20170607

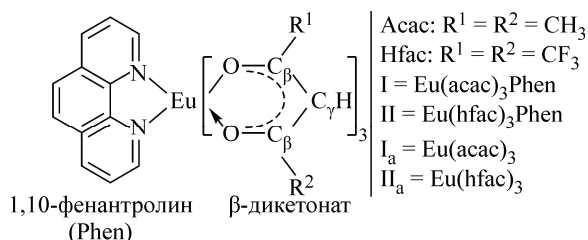
Ключевые слова: фотоэлектронная спектроскопия, теория функционала плотности, аддукты β-дикетонатов, лантаноиды, электронное строение, европий.

ВВЕДЕНИЕ

tris-β-Дикетонатные комплексы редкоземельных элементов способны координировать дополнительные лиганды. Образующиеся при этом аддукты обладают комплексом уникальных физико-химических свойств, что обуславливает их практическое использование [1]. Так, комплексы редкоземельных элементов используются при разработке органических светодиодов, элементов оптоэлектроники, применяются при диагностике в биомедицине [2—4]. Координационно-насыщенные, высокоустойчивые, хорошо растворимые в органических растворителях аддукты широко используются в аналитической химии для выделения, определения и разделения элементов [5].

Фундаментальной проблемой химии и фотохимии комплексов лантаноидов островного и полимерного строения является выявление механизма влияния природы химической связи на их флуоресцентные и фотохимические свойства. Квантовый выход люминесценции в видимой и ближней ИК области в значительной степени зависит от природы лигандов и может изменяться на 2—3 порядка в зависимости от эффективности безызлучательных переходов с лигандов на металлы. Процессы переноса энергии зависят от интервала энергии между низким триплетным состоянием лигандов и возбужденным состоянием *f*-электронов, от локализации воз-

Рис. 1. Схема строения аддуктов $\text{Eu}(\text{OC}_\beta(\text{R}^1)\text{C}_\gamma\text{HC}_\beta(\text{R}^2)\text{O})_3\text{Phen}$ и принятые обозначения



буждения на функциональных группах лигандов. Установление взаимосвязи спектрально-люминесцентных свойств комплексов с их электронной структурой и орбитальной природой химических связей позволяют планировать синтез новых соединений с необходимыми оптическими свойствами.

Наиболее информативным методом изучения электронной структуры комплексных соединений является фотоэлектронная спектроскопия. Получение ультрафиолетовых фотоэлектронных спектров паров *трис*-ацетилацетонатов $\text{Ln}(\text{acac})_3$ и других координационно-ненасыщенных комплексов с дикетонатными лигандами ограничено возможностью перевода их в газовую фазу. Результаты исследования *трис*-дibenзоилметанатов $\text{M}(\text{Dbm})_3$ ($\text{M} = \text{Sc}, \text{Y}, \text{La}$) методами рентгеновской фотоэлектронной спектроскопии и теории функционала плотности недавно опубликованы в работе [6]. Ультрафиолетовые фотоэлектронные спектры *трис*-ацетилацетонатов, *трис*-дипиваюилметанатов, *трис*-трифторметилацетонатов европия и лютеция, а также рентгеновские фотоэлектронные спектры *трис*-дibenзоилметанатов европия и лютеция исследованы в работе [7], где показано влияние природы комплексообразователя и лигандных заместителей на электронное строение комплексов. УФЭ спектры паров ряда $\text{Ln}(\text{acac})_3$, полученных разложением в ионизационной кювете аддуктов $\text{Ln}(\text{acac})_3\text{L}$ ($\text{L} = \text{H}_2\text{O}, (\text{CH}_3)_2\text{SO}$), опубликованы в [8]. Результаты анализа $\text{He}(\text{I})$ -спектров комплексов $\text{Ln}(\text{acac})_3$ ($\text{Ln} = \text{Pr}, \text{Nd}, \text{Tm}$) и фторсодержащего $\text{Nd}(\text{Tfac})_3$ представлены в работе [9]. Анализ природы молекулярных орбиталей на основании спектров HeI и HeII комплексов $\text{M}(\text{Dpm})_3$ ($\text{M} = \text{Y}, \text{Gd}, \text{Yb}$) представлен в работе [10]. В статье [11] опубликованы фотоэлектронные HeI -спектры и абсорбционные спектры в вакуумном ультрафиолете паров 12 комплексов $\text{Ln}(\text{Fot})_3$ ($\text{R}^1 = \text{C}_3\text{F}_7, \text{R}^2 = \text{C}(\text{CH}_3)_3$ — рис. 1). Недавно опубликована обзорная работа по фотоэлектронным спектрам и электронной структуре β -дикетонатных комплексов редкоземельных элементов [12].

Результаты теоретического исследования молекулярной структуры комплексов *трис*-дипиваюилметанатов редкоземельных элементов La—Lu с использованием теории функционала плотности (ТФП) опубликованы в работе [13]. В работе [14] на основании ТФП-расчетов установлены особенности геометрического строения комплексов $\text{Ln}(\text{C}_3\text{H}_5)\text{Cp}(\text{OMe})$ ($\text{Ln} = \text{La—Lu}$, $\text{Cp} = \text{C}_5\text{H}_5$), а также сделан вывод об ионной природе химической связи металл—лиганд. С помощью метода газовой электронографии и ТФП исследована электронная структура *трис*-дипиваюилметанатов La, Nd, Gd, Er, Yb и Lu [15].

К числу химических соединений редкоземельных элементов, представляющих интерес для разработки светотрансформирующих материалов, относится широкий класс аддуктов *трис*- β -дикетонатов общей формулы $\text{Ln}(\text{OC}_\beta(\text{R}_1)\text{C}_\gamma\text{HC}_\beta(\text{R}_2)\text{O})_3\text{L}$ [16—21] (см. рис. 1).

Координационная ненасыщенность большей части *трис*- β -дикетонатов лантанидов определила широкое использование их аддуктов в качестве люминесцирующих материалов с такими нейтральными лигандами (L) как 1,10-фенантролин (Phen), 2,2'-дипиридин (Dipy), трифенилфосфиноксид (TPPO) и гексаметилфосфортиамид (HMPTA). Одни из первых результатов исследования ряда аддуктов β -дикетонатных комплексов европия методом фотоэлектронной спектроскопии были опубликованы в работе [22], где изучались рентгеновские фотоэлектронные спектры валентных и внутренних электронов соединений $\text{Eu}(\text{acac})_3\text{Phen}$, $\text{Eu}(\text{hfac})_3\text{Phen}$, $\text{Eu}(\text{hfac})_3\text{TPPO}$ и $\text{EuCl}_3 \cdot 6\text{H}_2\text{O}$. В работе [23] методом рентгеновской фотоэлектронной спектроскопии исследованы спектры 8 β -дикетонатов Eu^{3+} , Tb^{3+} и аддукта нитрата европия с 1,10-фенантролином ($\text{Eu}(\text{NO}_3)_3\text{Phen}$). Методом фотоэлектронной спектроскопии изучены аддукты

$\text{Eu}(\text{hfac})_3$, $\text{Eu}(\text{hfac})_3\text{L}$ (где $\text{L} = \text{Phen}$, 2TPPO, 2HMRA) и *тетракис*- β -дикетонаты $\text{K}^+[\text{Eu}(\text{hfac})_4]^-$ и $\text{Cs}^+[\text{Eu}(\text{hfac})_4]^-$ в газовой фазе [24]. Молекулярная структура смешанных лигандных комплексов $\text{Lu}(\text{acac})_3\text{Phen}$ и $\text{Lu}(\text{acac})_3\text{Dipy}$ исследована в работе [25].

Развитие современной вычислительной техники и методов квантовой химии делают доступными теоретические исследования аддуктов β -дикетонатных комплексов лантаноидов. В результате появилась возможность интерпретации фотоэлектронных спектров на основании расчетных данных. Сочетание экспериментального метода фотоэлектронной спектроскопии и теоретических методов квантовой химии представляет собой мощный и надежный инструмент для анализа электронной структуры химических соединений.

В настоящей работе методами ультрафиолетовой фотоэлектронной спектроскопии и теории функционала плотности исследована электронная структура аддуктов $\text{Eu}(\text{OC}_\beta(\text{R}^1)\text{C}_\gamma\text{HC}_\beta(\text{R}^2)\text{O})_3\text{Phen}$, $\text{R}^1 = \text{R}^2 = \text{CH}_3$, CF_3 ; $\text{Phen} = 1,10\text{-фенантролин}$ $\text{C}_{12}\text{H}_8\text{N}_2$ (см. рис. 1).

Для всех исследуемых в работе аддуктов получены рентгеновские фотоэлектронные спектры валентной области и оставных уровней в конденсированной фазе с излучением MgK_α .

МЕТОДИКА ЭКСПЕРИМЕНТА И РАСЧЕТА

Фотоэлектронные спектры паров аддуктов Eu с 1,10-фенантролином ($\text{R} = \text{CH}_3$, CF_3) получены нами ранее на спектрометре ЭС-3201 [24] с прямой системой ввода образца и монохроматическим источником излучения HeI (21,2 эВ). В ампуле-испарителе температура образцов варьировалась до 200°C. Рабочее давление в камере энергоанализатора спектрометра составляло 10^{-6} мБар, давление пара образцов в ионизационной кювете достигало значений 10^{-1} — 10^{-2} мБар. Калибровку энергетической шкалы спектрометра проводили по линиям внутреннего стандарта (линии ${}^2P_{3/2}$ и ${}^2P_{1/2}$ криптона с энергиами 14,00 и 14,67 эВ), разрешающая способность прибора $\geq 0,08$ эВ, воспроизводимость положения полосы $\pm 0,03$ эВ [24].

Рентгеновские фотоэлектронные спектры измерены на сверхвысоковакуумном фотоэлектронном спектрометре фирмы Omicron (Германия) с полусферическим электростатическим анализатором (радиус кривизны 125 мм) и источником излучения MgK_α (1253,6 эВ).

Обработка спектров выполнена с использованием программы CASA XPS [26]. Калибровка шкалы энергии связи электронов выполнена по методике внутреннего стандарта, в качестве которого выбран уровень $\text{C}1s$ (285,0 эВ).

Квантово-химические расчеты выполнены на основании ТФП с использованием программы Firefly 8.1.0 [27]. Для расчетов применяли гибридный обменно-корреляционный функционал B3LYP5. Для атомов Eu и Lu выбран базисный набор с добавлением эффективного квазирелятивистского оставного потенциала, разработанный группой Stuttgart/Cologne [28], оставшийся потенциал для Eu включает 52 электрона (ECP52MWB). Для остальных атомов применяли полноэлектронный базисный набор 6-311G*. Основанием для выбора функционала и базисных наборов служат ранее успешно проведенные расчеты, результаты которых приведены в работах [6, 7, 12, 13, 29, 30].

Для всех рассчитанных молекулярных структур проведена полная оптимизация геометрических параметров. Для проверки соответствия оптимизированных структур точкам локального минимума на поверхности потенциальной энергии проводили расчет гессиана.

Для *трис*-хелатных комплексов и молекулы 1,10-фенантролина обозначение молекулярных орбиталей соответствует неприводимым представлениям точечных групп симметрии D_3 и C_{2v} соответственно. Используемая классификация MO для ацетилацетонатного фрагмента (три π -МО: π_3 , π_2 , π_1 ; две несвязывающие MO: n_- , n_+) и распределение электронной плотности, полученное по результатам расчетов, представлены на рис. 2.

Для сопоставления экспериментальных значений вертикальных энергий ионизации (IE) с энергиями орбиталей Кона—Шема ε_i применяли выражение $\varepsilon_i = \text{ЭИ}_i + \delta_i$, что является приближенным вариантом расширенной теоремы Купманса для фотоэлектронной спектроскопии. Учет поправки δ_i , зависящей от характера электронного уровня, к орбитальной энергии ε_i позво-

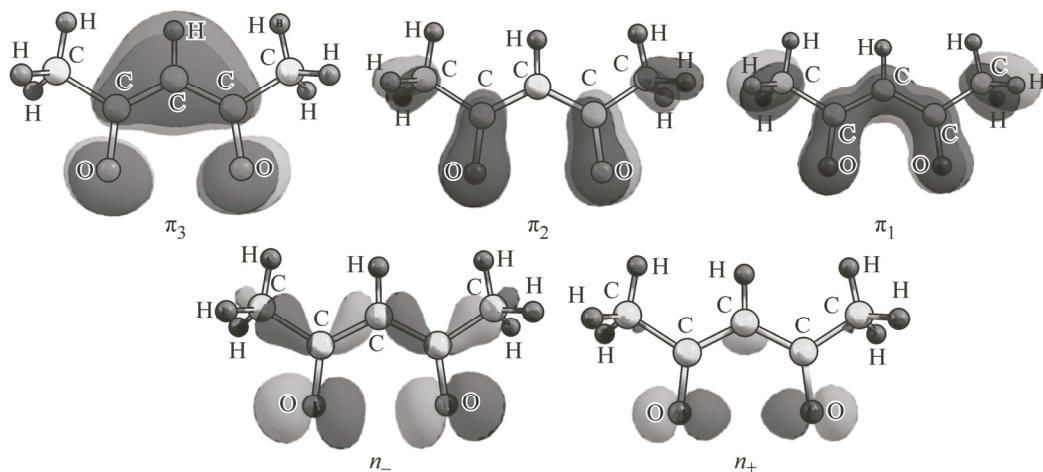


Рис. 2. Обозначения и форма МО ацетилацетонатного фрагмента

Таблица 1

Параметры геометрической структуры исследуемых аддуктов

Длина связи	I / I _a , Å	II / II _a , Å	Длина связи	I / I _a , Å	II / II _a , Å
r(Eu—O1)	2,38 / 2,32	2,39 / 2,45	r(O1—C _B)	1,29 / 1,27	1,28 / 1,25
r(Eu—N1)	2,63	2,57	r(C _γ —C _B)	1,41 / 1,41	1,40 / 1,41

ляет провести надежное отнесение полос фотоэлектронного спектра и изучить природу химических связей в аддуктах. Подробное описание данного подхода приводится в работах [29, 30].

РЕЗУЛЬТАТЫ И ИХ ОБСУЖДЕНИЕ

Квантово-химические расчеты показали, что геометрия координационной сферы LnO_6N_2 близка к квадратной антипризме. Это согласуется с результатами, полученными в работе [25]. При фторировании аддукта I наблюдается небольшое изменение длины связи Eu—N (табл. 1). Геометрическая структура 1,10-фенантролина практически не зависит от химического окружения.

Присоединение 1,10-фенантролина к *tris*-хелатным комплексам ведет к изменению длин связей хелатных циклов и Eu—O. При этом для аддукта II длина связи Eu—O уменьшается, а для I — увеличивается.

На корреляционной диаграмме (рис. 3) приведены расчетные энергии MO аддуктов I, II комплексов $\text{Eu}(\text{acac})_3$, $\text{Eu}(\text{hfac})_3$ и молекулы 1,10-фенантролина (Phen).

Величина дестабилизации MO *tris*-хелатных комплексов при аддуктообразовании в среднем составляет 0,7 эВ. Приведенные на диаграмме MO $\text{Eu}(\text{acac})_3\text{Phen}$ можно разделить на группы по типам локализации электронной плотности. Первая группа включает в себя π_3 - и n_- -орбитали хелатных циклов (5,28—6,01 эВ). Вторая группа включает n_+ -МО комплекса и верхние MO ($12b_2$, $4b_1$ и $14a_1$) Phen (6,71—7,82 эВ). При этом MO аддукта с энергией 7,82 эВ (HOMO-11) полностью образована орбиталью $12b_2$, которая локализована преимущественно на атомах N с вкладом 56 %. Далее следует орбиталь HOMO-12, образованная смешиванием орбитали $\pi_2(e)$ хелата с $14a_1$ Phen, с преимущественной локализацией на атомах N с вкладом 38 %. Третья группа — орбитали π_1 и π_2 хелатных циклов, смешанные с орбиталями $2a_2$, $3b_1$ и $2b_1$ 1,10-фенантролина (8,18—9,90 эВ).

Ниже 10,1 эВ расположены σ -орбитали хелатных циклов и MO 1,10-фенантролина.

При замещении метильных групп ($\text{R}^1=\text{R}^2=\text{CH}_3$) трифторметильными ($\text{R}^1=\text{R}^2=\text{CF}_3$) наблюдается понижение энергии MO 1,10-фенантролина и повышение энергии MO хелатных циклов

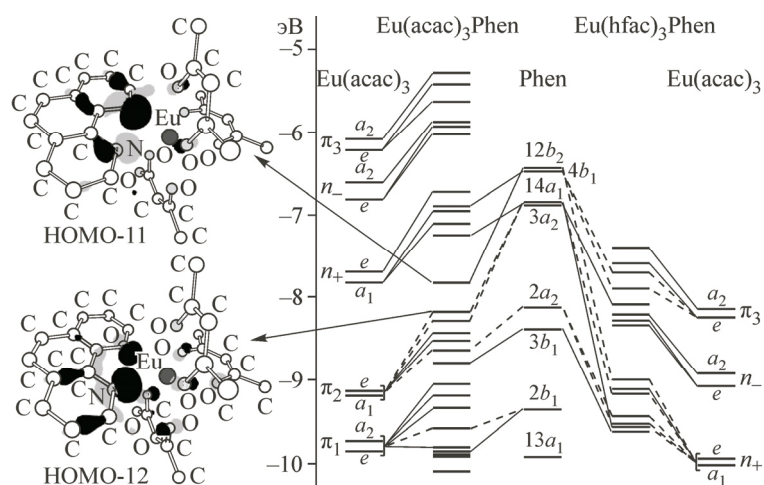


Рис. 3. Корреляционная диаграмма MO аддуктов *tris*- β -дикетонатов европия

комплекса $\text{Eu}(\text{hfac})_3$. Смещение верхней ВЗМО аддукта II относительно аддукта I равно 2,12 эВ, что согласуется с экспериментальными данными фотоэлектронных спектров (рис. 4). Для вырожденной орбитали $\pi_3(e)$ наблюдается смешивание с орбиталью $4b_1$ Phen, а MO $n_+(e)$ смешивается с MO $12b_2$, $14a_1$, $2a_2$, $3b_1$ непредельного лиганда. Для орбиталей π_2 и π_1 смешивание с MO 1,10-фенантролина отсутствует. Из данного анализа мы видим, что орбитали 1,10-фенантролина участвуют в смешивании только с орбиталями, энергия которых находится от 8 до 10 эВ.

Отнесение полос ультрафиолетовых фотоэлектронных спектров аддуктов $\text{Eu}(\text{acac})_3\text{Phen}$ и $\text{Eu}(\text{hfac})_3\text{Phen}$ представлено на рис. 4. Средний дефект, на величину которого были сдвинуты энергии расчетных орбиталей, для верхних π_3 , n_- , n_+ MO аддуктов равен: $\tilde{\delta}(\text{Eu}(\text{acac})_3\text{Phen}) = 2,28$ эВ; $\tilde{\delta}(\text{Eu}(\text{hfac})_3\text{Phen}) = 1,63$ эВ.

При рассмотрении УФЭ спектр аддукта II (см. рис. 4) наблюдается дестабилизация молекулярных орбиталей комплекса. Полоса π_3 *tris*-гексафторацетилацетоната при добавлении Phen дестабилизируется в сторону меньших энергий, обусловливая полосу $1'$. При аддуктообразовании орбитали Phen стабилизируются и смешиваются с MO π_3 , n_- , n_+ комплекса. Полосы $2'$ и $3'$ отнесены к орбиталям n_- и n_+ , полосу $4'$ образует орбиталь $3a_2$ Phen. Данные УФЭ спектра хорошо согласуются с данными теоретического расчета, что позволяет сделать достоверный анализ электронной структуры.

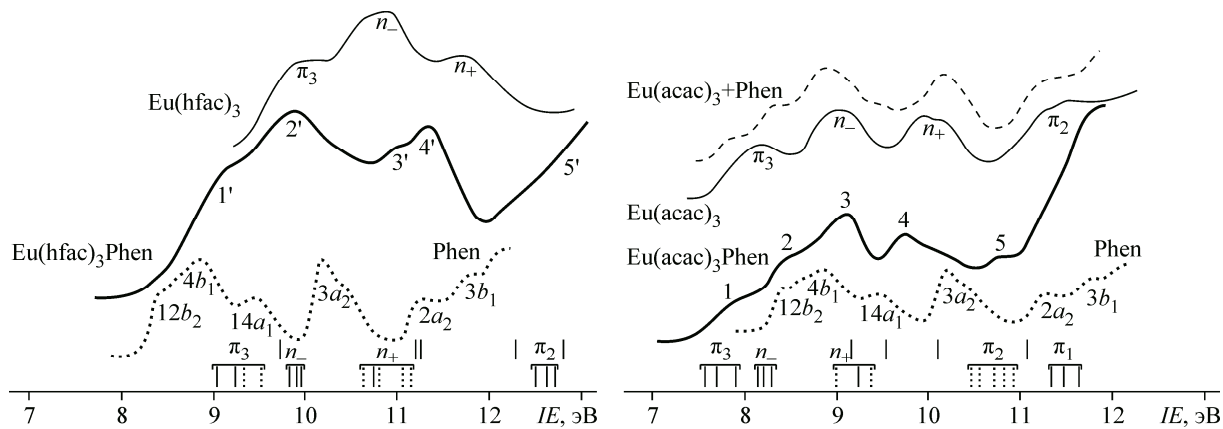


Рис. 4. Ультрафиолетовые фотоэлектронные спектры аддуктов I—II (толстая линия), *tris*-хелатов (тонкая линия), 1,10-фенантролина (точки) и расчетные энергии орбиталей Конн—Шема аддуктов, представленные в виде вертикальных линий над шкалой IE

Таблица 2

Заряды атомов по Малликену, ат. ед.

Аддукт	Ln	L_3 / O	Phen / N	Аддукт	Ln	L_3 / O	Phen / N
I	2,20	-2,23 / -0,65	0,03 / -0,61	II	2,19	-2,28 / -0,60	0,09 / -0,69
I_a	2,13	-2,13 / -0,69	—	II_a	2,23	-2,23 / -0,62	—
				Phen		—	0 / -0,30

Из спектров аддукта I мы не можем точно определить дестабилизацию MO орбиталей комплексов при аддуктообразовании из-за плохо различимых сдвигов. Для доказательства того, что приведенные спектры являются спектрами именно аддуктов, а не продуктов деструкции, мы привели суммарный спектр *трис*-ацетилацетона и 1,10-фенантролина ($(\text{Eu}(\text{acac})_3 + \text{Phen}$ — штриховая линия). Сравнивая спектр сумм и спектр аддукта I, мы видим их отличие и утверждаем, что в эксперименте мы получили спектры аддуктов с частичным содержанием продуктов деструкции.

Имея данные теоретических расчетов, согласующихся с экспериментальными, мы предполагаем, что при добавлении Phen к *трис*-хелатным комплексам Eu происходит дестабилизация уровней комплекса и стабилизация уровней Phen.

При анализе распределения малликеновских атомных зарядов аддукта I (табл. 2) видно, что электронная плотность с атома металла переходит на хелатное кольцо (положительный заряд на атоме металла увеличивается). В то же время образование аддукта II, напротив, сопровождается уменьшением положительного заряда на металле. Суммарный заряд на 1,10-фенантролиновом фрагменте при образовании аддуктов уменьшается, а отрицательный заряд на атомах азота растет.

В аддуктах I и II *трис*-хелатные фрагменты заряжены отрицательно, 1,10-фенантролиновый фрагмент имеет положительный заряд. Данное распределение зарядов аддуктов свидетельствует о наличии поляризации *трис*-хелатных циклов с нейтральным лигандом Phen и ион-дипольном взаимодействии хелатного фрагмента с Phen (рис. 5).

Особенность оставных уровней заключается в отсутствии смешивания молекулярных орбиталей. Все уровни смешены на различные величины энергий, наиболее сильное смещение испытали уровни углероды C1s. Влияния фторирования вносит несущественные изменения в энергии оставных MO относительно нефторированного аддукта.

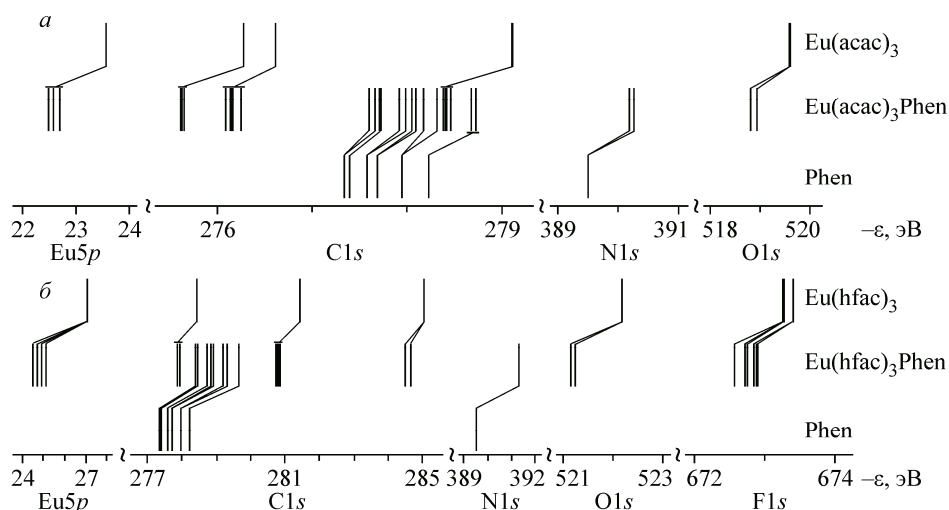


Рис. 5. Расчетные энергии оставных уровней аддуктов I (a), II (б) *трис*-комплексов и 1,10-фенантролина

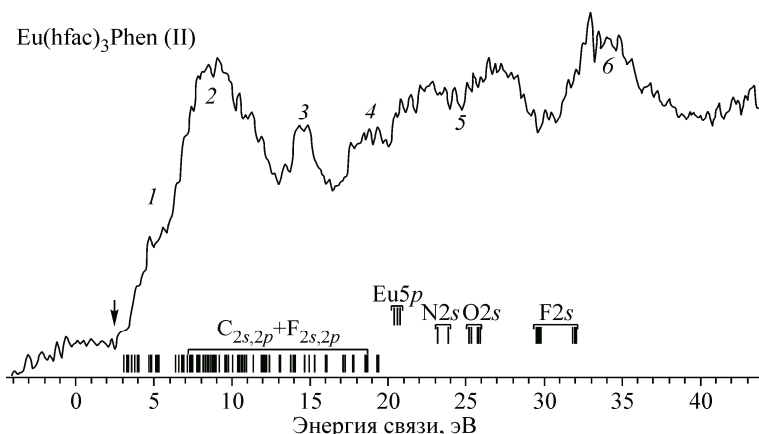


Таблица 3

Энергии связи $E_{\text{св}}$
остовных электронов
аддукта II, эВ

Аддукт	O1s	C1s	Ln(4d _{5/2} ; 4d _{3/2})
II	532,1	285,0	136,7; 142,2

Рис. 6. Рентгеноэлектронные спектр валентной области аддукта II и орбитальные энергии Кона—Шема

ИНТЕРПРЕТАЦИЯ ВАЛЕНТНОЙ ОБЛАСТИ РЕНТГЕНОВСКОГО ФОТОЭЛЕКТРОННОГО СПЕКТРА

Интерпретация полос рентгеновских фотоэлектронных спектров аддукта II (рис. 6) проведена на основании расчетных данных. В табл. 3 приведены значения энергии связи некоторых остовных электронов.

Низкоинтенсивная полоса 1 аддукта II обусловлена ионизацией лигандных уровней от π_3 до n_+ . Далее следуют полосы, соответствующие смешанным МО типа π_2 и π_1 хелатных колец, полосы, соответствующие лигандным МО $\text{F}2s+\text{F}2p$, а также $\text{C}2s+\text{C}2p$ 1,10-фенантролина. По интенсивности выделяются полосы спин-орбитальных дублетов $\text{Eu}4f$ электронов — $4f_{7/2}$, $4f_{5/2}$ (полоса 2), находящиеся от 5 до 10 эВ.

Широкая полоса 5 отнесена к $5p$ -орбиталям европия. Полосы 3, 4 и 5 соответствуют уровням s -типа. Полоса 5 в соответствии с расчетами отнесена к четырем уровням с преимущественным вкладом орбиталей $\text{O}2s$ и двум уровням с преимущественным вкладом орбиталей $\text{N}2s$.

Отсутствие в расчетах $4f$ -электронов европия вызвано тем, что он имеет открытую оболочку с $7f$ -электронами, что вызывает усложнение расчетов и невозможность применения метода ТФП. Расчет с учетом $4f$ -электронов возможен только для атомов, имеющих закрытую оболочку. Полученный рентгеноэлектронный спектр аддукта $\text{Eu}(\text{hfac})_3\text{Phen}$ (II) аналогичен спектру, полученному в работе [22].

ЗАКЛЮЧЕНИЕ

В результате исследования была показана применимость выбранного расчетного метода к интерпретации фотоэлектронных спектров с достаточно точными результатами, что позволило провести анализ и выявить особенности электронных эффектов аддуктообразования.

В частности, удалось показать наличие поляризации *tris*-хелатных циклов с нейтральным лигандом Phen и ион-дипольного взаимодействия хелатного фрагмента с Phen, провести интерпретацию валентной области рентгеновских фотоэлектронных и газофазных фотоэлектронных HeI-спектров.

Работа выполнена при финансовой поддержке Министерства образования и науки Российской Федерации в рамках Государственного задания по НИР № 3.2168.2017/ПЧ Дальневосточного федерального университета.

СПИСОК ЛИТЕРАТУРЫ

1. *Binnemans K.* Handbook on the Physics and Chemistry of Rare Earths. – Elsevier: – 2005. – **35**. – P. 107 – 272.
2. *Bunzli J.-C.G., Comby S., Chauvin A.-S., Vandevyver C.D.B.* // *J. Rare Earths.* – 2007. – **25**. – P. 257 – 274.
3. *Barta C.A., Sachs-Barbare K., Jia J., Thompson K.H., Wasan K.M., Orvig C.* // *Dalton Trans.* – 2007. – **43**. – P. 5019 – 5030.
4. *Viujola J., Lamminmäki U., Soukka T.* // *Analyt. Chem.* – 2009. – **81**, N 12. – P. 5033 – 5038.
5. *Стеблянко А.Ю., Григорьев А.Н., Мартыненко Л.И.* // Журн. неорган. химии. – 1997. – **42**, № 2. – С. 267 – 270.
6. *Короченцев В.В., Вовна В.И., Калиновская И.В., Комиссаров А.А., Доценко А.А., Шурыгин А.В., Мирочник А.Г., Сергиенко В.И.* // Журн. структур. химии. – 2014. – **55**, № 6. – С. 1114 – 1123.
7. *Шурыгин А.В., Короченцев В.В., Осьмушко И.С., Чередниченко А.И., Яшин В.А., Вовна В.И.* // Журн. структур. химии. – 2015. – **56**, № 3. – С. 572 – 581.
8. *Вовна В.И., Горчаков В.В., Чередниченко А.И., Дзюбенко Н.Г., Кузьмина Н.П., Мартыненко Л.И.* // Координац. химия. – 1991. – **17**, № 4. – С. 571 – 576.
9. *Westcott B.L., Seguin T.J., Gruhn N.E.* // *J. Electron Spectr. Relat. Phenom.* – 2014. – **193**. – P. 100 – 101.
10. *Novak I., Kovač B.* // *J. Organometal. Chem.* – 2007. – **692**. – P. 2299 – 2305.
11. *Richer G., Sandorfy C.* // *J. Mol. Struct.: THEOCHEM.* – 1988. – **167**. – P. 413 – 423.
12. *Вовна В.И., Короченцев В.В., Чередниченко А.И., Шурыгин А.В.* // Изв. АН. Сер. хим. – 2015. – **8**. – С. 1701 – 1711.
13. *Sliznev V.V., Belova N.V., Girichev G.V.* // *Comput. Theor. Chem.* – 2015. – **1055**. – P. 78 – 87.
14. *Schinzel S., Bindl M., Visseaux M., Chermette H.* // *J. Phys. Chem. A.* – 2006. – **110**, N 39. – P. 11324 – 11331.
15. *Girichev G.V., Giricheva N.I., Haaland A., Kuzmina N.P., Samdal S., Strelalyuk T.N., Tverdova N.V., Zaitseva I.G.* // *Inorg. Chem.* – 2006. – **45**, N 13. – P. 5179 – 5186.
16. *Mirochnik A.G., Bukvetskii B.V., Zhikhareva P.A., Karasev V.E.* // *Russ. J. Coord. Chem.* – 2001. – **27**, N 6. – P. 443 – 448.
17. *Мирочник А.Г., Петроченкова Н.В., Карапесев В.Е.* // Высокомол. соед. Сер. А. – 1999. – **42**, № 10. – С. 1646.
18. *Kuz'mina N.P., Eliseeva S.V.* // *Russ. J. Inorg. Chem.* – 2006. – **51**, N 1. – P. 73 – 88.
19. *Eliseeva S.V., Troyanov S.I., Kuzmina N.P., Mirzov O.V., Vitukhnovsky A.G.* // *J. Alloys and Compounds.* – 2004. – **374**, N 1-2. – P. 293 – 297.
20. *Utochnikova V.V., Kotova O.V., Shchukina E.M., Eliseeva S.V., Kuz'mina N.P.* // *Russ. J. Inorg. Chem.* – 2008. – **53**, N 12. – P. 1878 – 1884.
21. *Shul'gin V.F., Abkhairova S.V., Konnik O.V., Meshkova S.B., Topilova Z.M., Kiskin M.A., Eremenko I.L.* // *Russ. J. Inorg. Chem.* – 2012. – **57**. – P. 420 – 426.
22. *Вовна В.И., Горчаков В.В., Мамаев А.Ю. и др.* // Координац. химия. – 1984. – **10**, № 10. – С. 1362.
23. *Вовна В.И., Карапесев В.Е., Мирочник А.Г., Заатдинов А.М.* // Журн. неорган. химии. – 1987. – **32**, № 10. – С. 2403 – 2408.
24. *Вовна В.И., Горчаков В.В., Карапесев В.Е., Чередниченко А.И.* // Журн. структур. химии. – 1989. – **30**, № 3. – С. 147 – 151.
25. *Rogachev A.Yu., Mironov A.V., Troyanov S.I., Kuzmina N.P., Nemukhin A.V.* // *J. Mol. Struct.* – 2006. – **789**, N 1-3. – P. 187 – 194.
26. CasaXPS. Version 2.3.12 – Casa Software Ltd. 1999—2006.
27. *Granovsky A.A. Firefly v.8.1*, <http://classic.chem.msu.su/gran/firefly/index.html>
28. *Dolg M., Peterson K.A., Schwerdtfeger P., Stoll H.* Pseudopotentials of the Stuttgart/Cologne group, Institute for Theoretical Chemistry, August 19, 2014 [www.tc.uni-koeln.de].
29. *Vovna V.I., Korochentsev V.V., Komissarov A.A., L'vov I.B.* // *Russ. J. Phys. Chem. B.* – 2013. – **7**, N 3. – P. 220 – 224.
30. *Osmushko I.S., Vovna V.I., Tikhonov S.A., Chizhov Y.V., Krauklis I.V.* // *Internat. J. Quantum Chem.* – 2016. – **116**. – P. 325 – 332.